

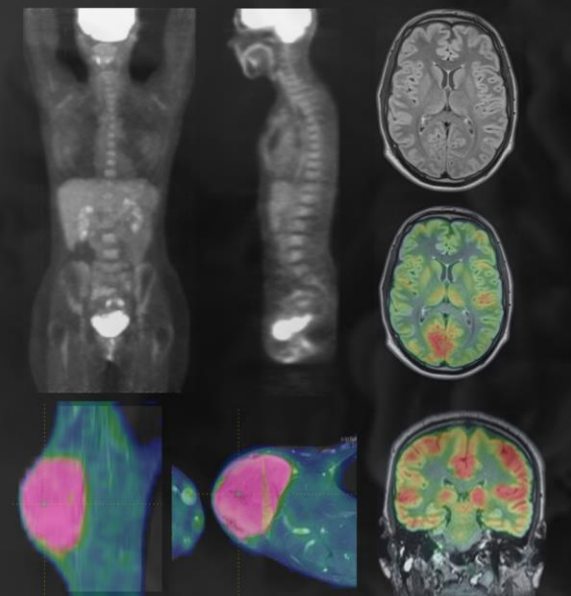
NEMO-PET

New prognostic metastatic phenotypes based on the analysis of whole-body PET/CT images using Artificial Intelligence



Fanny Orlhac

Laboratoire d'Imagerie Translationnelle en Oncologie (LITO)
U1288 – Institut Curie/Inserm





Identifier de nouveaux phénotypes métastatiques pronostiques à partir de l'analyse des images ^{18}F -FDG TEP/TDM corps-entier



2022-2026 : ANR JCJC – PI : Fanny Orlhac



- Deux types de cancer : cancer mammaire (> 400 pts) & cancer pulmonaire (> 400 pts)
- Patients métastatiques au diagnostic et traités à l'IC
- Patients avec un TEP/TDM au ^{18}F -FDG avant traitement
- 2 ans de suivi minimum → ESME-sein/poumon + base Poumon



Identifier de nouveaux phénotypes métastatiques pronostiques à partir de l'analyse des images 18F-FDG TEP/TDM corps-entier



2022-2026 : ANR JCJC – PI : Fanny Orlhac



- Deux types de cancer : cancer mammaire (> 400 pts) & cancer pulmonaire (> 400 pts)
- Patients métastatiques au diagnostic et traités à l'IC
- Patients avec un TEP/TDM au 18F-FDG avant traitement
- 2 ans de suivi minimum → ESME-sein/poumon + base Poumon



LITO & Département d'Imagerie :

Julie Auriac (financement de PhD), Irène Buvat, Laurence Champion, Narinée Hohvhannisyan, Frédérique Frouin, Marie Luporsi, Christophe Nioche, Fanny Orlhac, Romain-David Seban



Oncologues référents :

François-Clément Bidard, Nicolas Girard

- + 6 mois d'ARC - cancer pulmonaire
- + 6 mois d'ARC - cancer mammaire
- + 1 mois d'extraction d'images

NEMO-PET • objectifs



8ème classification AJCC → Patients métastatiques = stade IV



| Stage | TNM |
|------------|--|
| Stage 0 | Tis, N0, M0 |
| Stage IA | T1, N0, M0 |
| Stage IB | T0, N1mi, M0 T1, N1mi, M0 |
| Stage IIA | T0, N1, M0 T1, N1, M0 T2, N0, M0 |
| Stage IIB | T2, N1, M0 T3, N0, M0 |
| Stage IIIA | T0, N2, M0 T1, N2, M0 T2, N2, M0 T3, N1, M0 T3, N2, M0 |
| Stage IIIB | T4, N0, M0 T4, N1, M0 T4, N2, M0 |
| Stage IIIC | Any T, N3, M0 |
| Stage IV | Any T, Any N, M1 |



Plusieurs métastases

| | N0 | N1 | N2 | N3 | M1a-b Tout N | M1c Tout N |
|-----|------|------|------|------|-----------------|---------------|
| T1a | IA-1 | IIB | IIIA | IIIB | IV-A | IV-B |
| T1b | IA-2 | IIB | IIIA | IIIB | IV-A | IV-B |
| T1c | IA-3 | IIB | IIIA | IIIB | IV-A | IV-B |
| T2a | IB | IIB | IIIA | IIIB | IV-A | IV-B |
| T2b | IIA | IIB | IIIA | IIIB | IV-A | IV-B |
| T3 | IIB | IIIA | IIIB | IIIC | IV-A | IV-B |
| T4 | IIIA | IIIA | IIIB | IIIC | IV-A | IV-B |

Figure 1 – 8ème classification TNM du cancer du poumon (d'après (2))

| | |
|------------|--|
| M0 | Pas de métastase à distance. |
| M1 | Existence de métastases : |
| M1a | Nodule(s) tumorall(ux) séparés dans un lobe contralatéral, ou nodules pleuraux ou pleurésie maligne ou péricardite maligne |
| M1b | Une seule métastase extra-thoracique dans un seul organe |
| M1c | Plusieurs métastases extrathoraciques dans un seul ou plusieurs organes |

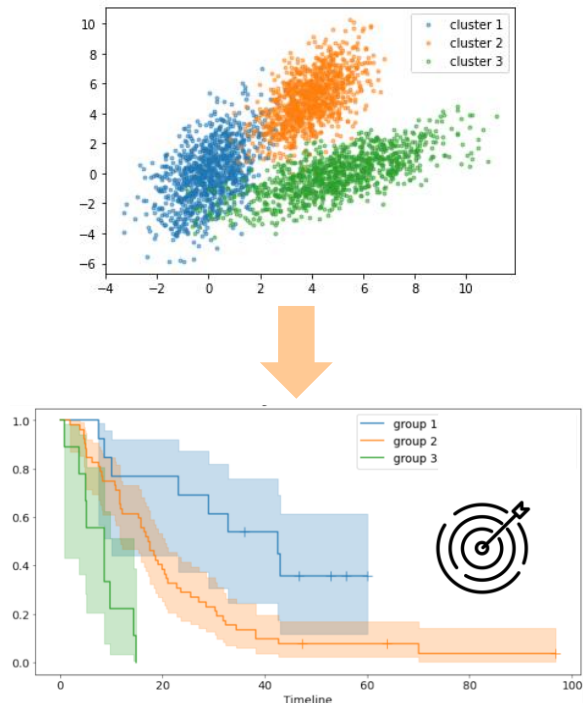
NEMO-PET • objectifs



8ème classification AJCC → Patients métastatiques = stade IV



| Stage | TNM |
|------------|--|
| Stage 0 | Tis, N0, M0 |
| Stage IA | T1, N0, M0 |
| Stage IB | T0, N1mi, M0 T1, N1mi, M0 |
| Stage IIA | T0, N1, M0 T1, N1, M0 T2, N0, M0 |
| Stage IIB | T2, N1, M0 T3, N0, M0 |
| Stage IIIA | T0, N2, M0 T1, N2, M0 T2, N2, M0 T3, N1, M0 T3, N2, M0 |
| Stage IIIB | T4, N0, M0 T4, N1, M0 T4, N2, M0 |
| Stage IIIC | Any T, N3, M0 |
| Stage IV | Any T, Any N, M1 |



Plusieurs métastases

| | N0 | N1 | N2 | N3 | M1a-b Tout N | M1c Tout N |
|-----|------|------|------|------|-----------------|---------------|
| T1a | IA-1 | IIB | IIIA | IIIB | IV-A | IV-B |
| T1b | IA-2 | IIB | IIIA | IIIB | IV-A | IV-B |
| T1c | IA-3 | IIB | IIIA | IIIB | IV-A | IV-B |
| T2a | IB | IIB | IIIA | IIIB | IV-A | IV-B |
| T2b | IIA | IIB | IIIA | IIIB | IV-A | IV-B |
| T3 | IIB | IIIA | IIIB | IIIC | IV-A | IV-B |
| T4 | IIIA | IIIA | IIIB | IIIC | IV-A | IV-B |

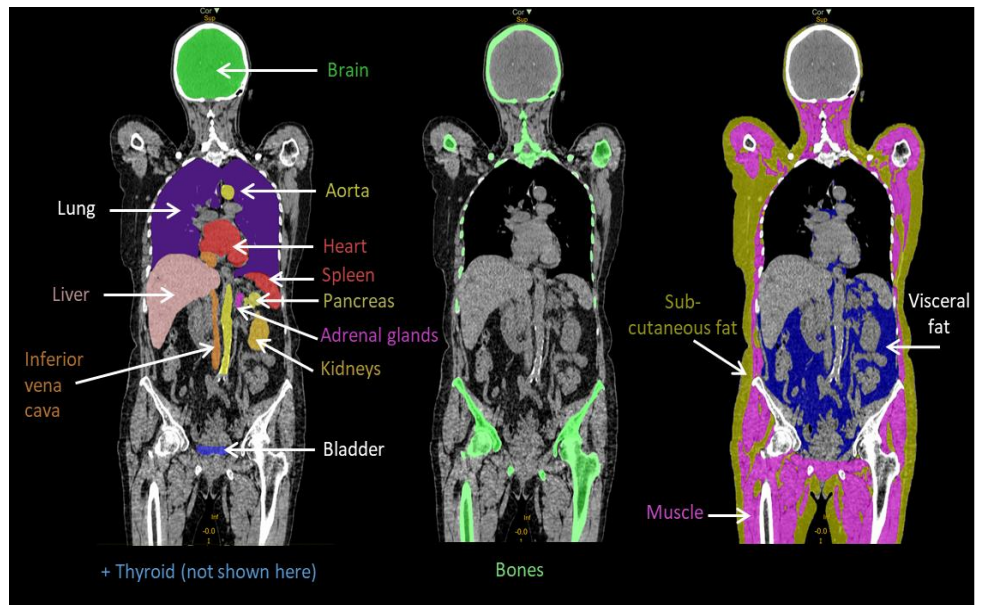
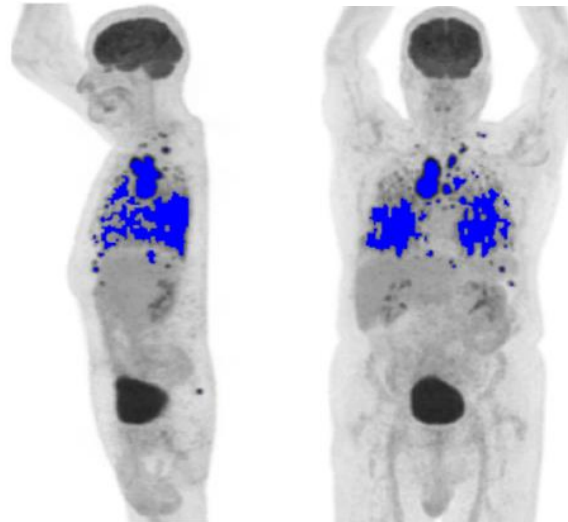
Figure 1 – 8ème classification TNM du cancer du poumon (d'après (2))

M0 Pas de métastase à distance.
M1 Existence de métastases :
M1a Nodule(s) tumorall(ux) séparés dans un lobe contralatéral, ou nodule(s) pleuraux ou pleurésie maligne ou péricardite maligne
M1b Une seule métastase extra-thoracique dans un seul organe
M1c Plusieurs métastases extrathoraciques dans un seul ou plusieurs organes

NEMO-PET • objectifs



Ne pas se focaliser uniquement sur la lésion primitive → l'ensemble des foyers tumoraux + des tissus non-tumoraux

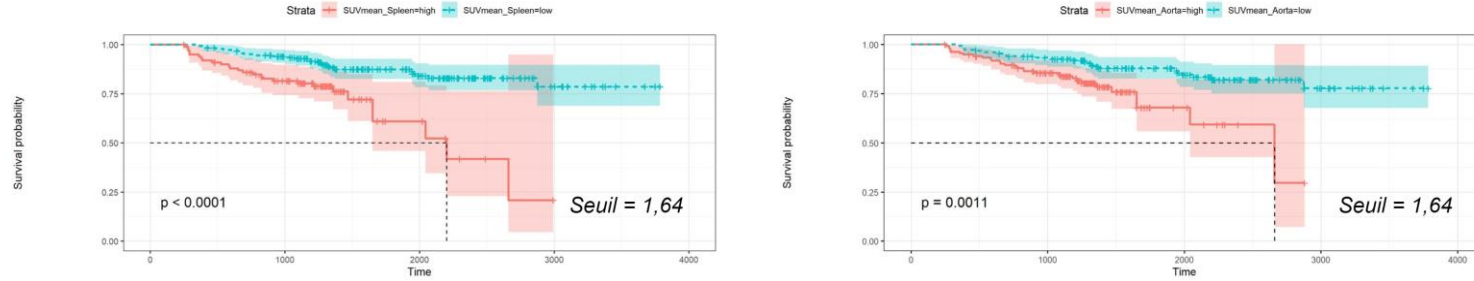


NEMO-PET • données préliminaires

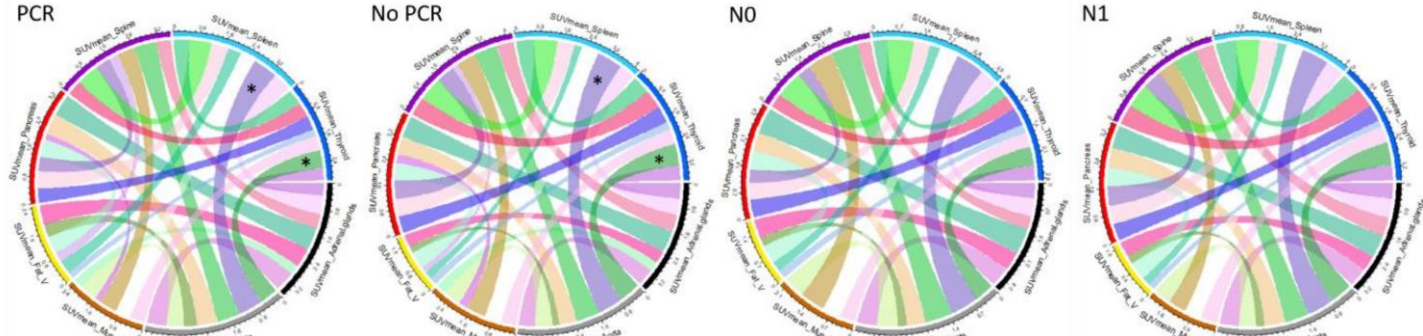


Stage de M2 de Julie :

- Métabolisme moyen (SUVmean) splénique et aortique en lien avec la PFS ?



- Etude des relations métaboliques entre organes suivant le profil des patients



NEMO-PET • structuration



WPO: Project management

Steering and scientific coordination

WP1: Completion of retrospective databases of metastatic BC and LC patients

1. Patient selection
2. Collection of PET/CT images and clinical and biological data



Retrospective breast cancer database
(≈ 400 patients), updated with follow-up information every 6 months



Retrospective lung cancer database
(≈ 400 patients), updated with follow-up information every 6 months

NEMO-PET • structuration



WPO: Project management

Steering and scientific coordination

WP1: Completion of retrospective databases of metastatic BC and LC patients

1. Patient selection
2. Collection of PET/CT images and clinical and biological data



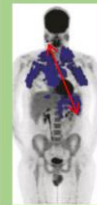
Retrospective breast cancer database
(\approx 400 patients), updated with follow-up information every 6 months



Retrospective lung cancer database
(\approx 400 patients), updated with follow-up information every 6 months

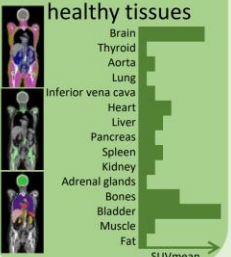
WP2: Comprehensive analysis of WB PET/CT images

WB tumor features

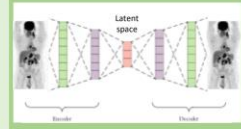


TMTV, Dmax,
SUVmean,
SUVmax, TLG...

Metabolic map for healthy tissues



Features from the latent space



Imaging features (free of scanner effect)

NEMO-PET • structuration



WPO: Project management

Steering and scientific coordination

WP1: Completion of retrospective databases of metastatic BC and LC patients

1. Patient selection
2. Collection of PET/CT images and clinical and biological data



Retrospective breast cancer database
(\approx 400 patients), updated with follow-up information every 6 months



Retrospective lung cancer database
(\approx 400 patients), updated with follow-up information every 6 months

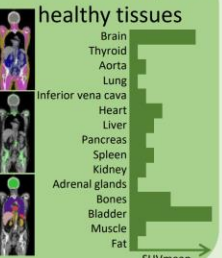
WP2: Comprehensive analysis of WB PET/CT images

WB tumor features

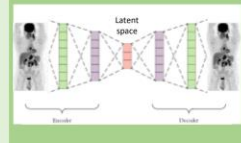


TMTV, Dmax,
SUVmean,
SUVmax, TLG...

Metabolic map for healthy tissues



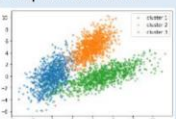
Features from the latent space



Imaging features (free of scanner effect)

WP3: Development of metastatic phenotypes

1. Identification of patient clusters



2. Discriminant and predictive value of the new metastatic phenotypes



NEMO-PET • structuration



WPO: Project management

Steering and scientific coordination

WP1: Completion of retrospective databases of metastatic BC and LC patients

1. Patient selection
2. Collection of PET/CT images and clinical and biological data



Retrospective breast cancer database
(\approx 400 patients), updated with follow-up information every 6 months



Retrospective lung cancer database
(\approx 400 patients), updated with follow-up information every 6 months

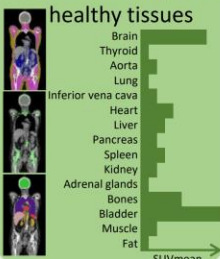
WP2: Comprehensive analysis of WB PET/CT images

WB tumor features

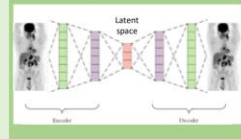


TMTV, Dmax,
SUVmean,
SUVmax, TLG...

Metabolic map for healthy tissues



Features from the latent space



Imaging features (free of scanner effect)

WP3: Development of metastatic phenotypes

1. Identification of patient clusters



2. Discriminant and predictive value of the new metastatic phenotypes



WP4: Network modelling

1. Network analysis



2. Discriminant and predictive value of the network perturbations



3. Comparison of the findings of WP3 and WP4



NEMO-PET • échéancier



T0 : 01/10/2022

T42 : 31/03/2026

